

© Дмитрієв М.О.

УДК: 616-071.3:675.1:611.984:612.655/.656

Дмитрієв М.О.

Вінницький національний медичний університет імені М. І. Пирогова (вул. Пирогова, 56, м. Вінниця, 21018, Україна)

КОРЕЛЯЦІЇ КУТОВИХ ПОКАЗНИКІВ ВЕРХНЬОЇ ЩЕЛЕПИ З ХАРАКТЕРИСТИКАМИ ПОЛОЖЕННЯ ЗУБІВ ТА ПРОФІЛЮ М'ЯКИХ ТКАНИН ОБЛИЧЧЯ У МЕШКАНЦІВ УКРАЇНИ ЮНАЦЬКОГО ВІКУ

Резюме. В статті описані особливості зв'язків кутових показників верхньої щелепи з характеристиками положення зубів та профілю м'яких тканин обличчя у мешканців України юнацького віку. Найбільша кількість зв'язків у юнаків встановлена для кутів F, I та SNA - переважно прямі з присінково-оральним нахилом 41, 42, 45 зубів, кутовими цефалометричними характеристиками зубів (окрім кутів II і Mand1_Melm) та зворотні з характеристиками положення змикальної площини. На відміну від юнаків, у дівчат для кутових показників верхньої щелепи встановлені лише поодинокі кореляції з характеристиками положення зубів та профілю м'яких тканин обличчя.

Ключові слова: цефалометрія, одонтометрія, юнаки, дівчата, показники верхньої щелепи, характеристики положення зубів та профілю м'яких тканин.

Вступ

Сучасна реставраційна і реконструктивна стоматологія накопичила величезний арсенал технік відновлення зруйнованих або втрачених зубів [4, 12]. Крім того, на даний момент опубліковано велику кількість робіт, які стосуються одонтометрії кутових і / або лінійних показників верхньої та нижньої щелепи, урахування яких необхідно для формування нормооклюзії зубних рядів [5, 6, 9].

При цьому вдосконалення існуючих методів діагностики та лікування захворювань щелепно-лицевої ділянки пред'являє до проведених морфометричних досліджень додаткові вимоги, а також диктує необхідність розробки нових підходів до вивчення зубів і кісток лицевого черепа [2, 8, 10]. Власне, для розширення відомостей про індивідуалізовані розмірні характеристики зазначених анатомічних утворень у конкретного пацієнта, удосконалення існуючих консервативних і хірургічних методів лікування і нівелювання ймовірності виникнення ускладнень на різних етапах ортодонтного лікування необхідним є вивчення наявності і напрямку взаємозв'язків між комплексом ортодонтметричних показників [1, 7, 17].

Мета дослідження - встановити особливості кореляційних зв'язків кутових показників верхньої щелепи з характеристиками положення зубів та профілю м'яких тканин обличчя у мешканців України юнацького віку.

Матеріали та методи

За допомогою пристрою Veraviewerocs 3D, Моріта (Японія) у 38 юнаків (віком від 17 до 21 року) та 55 дівчат (віком від 16 до 20 років) з ортогнатичним прикусом були отримані та проаналізовані бічні телерентгенограми і томограми.

Цефалометричні точки та вимірювання проводили згідно рекомендацій С. С. Steiner [16], а анатомічні - за Basavaraj Subhashchandra Phulari [11] та С.І. Дорошенко і Є.А. Кульгинским [3].

Визначали *кутові показники верхньої щелепи* (рис. 1):
1 - F (лицевий кут або кут F) - утворюється лініями

Se-N та N-A (визначає розташування переднього контуру верхньої щелепи у стріловій площини до основи черепа);

2 - I (інклінаційний кут або кут I) - кут утворений лінією ANS-PNS та Pn (носовим перпендикуляром, перпендикулярною лінією з точки N' до лінії Se-N), (кут нахилу піднебінної площини до носового перпендикуляру);

3 - NL_NSL (кут NL_NSL також кут SNSpP) - утворюється лініями ANS-PNS та S-N (кут нахилу піднебінної площини до основи черепа);

4 - SNA (кут SNA) - утворюється лініями S-N та N-A (кут вказує на передньо-заднє розташування верхньої щелепи до основи черепа).

Для оцінки характеристики положення зубів та профілю м'яких тканин обличчя використовували класичні методи телерентгенографічного аналізу згідно А. М. Schwarz, W.B. Downs, С. Н. Tweed [3], С. С. Steiner [16], J. Mc Namara [14], R. A. Holdway [13] та G. P. F. Schmuth [15]. Визначали:

YGOCLPI (кут YGOCLPI) - кут між лініями Is1L-DPOcl та ANS-PNS (кут нахилу змикальної площини (OcIPi) до

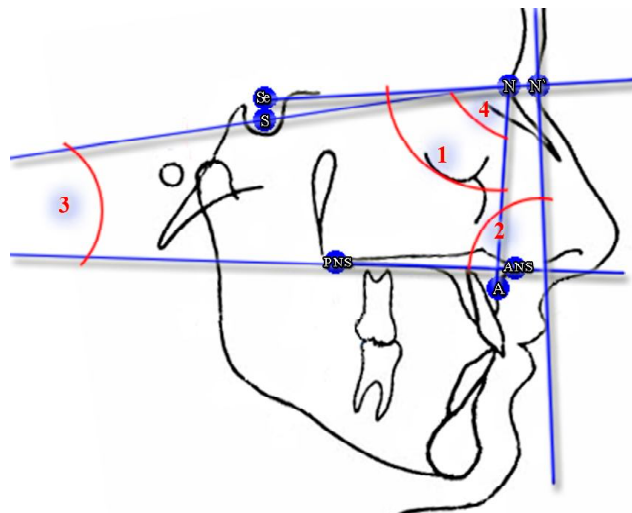


Рис. 1. Визначення кутів: F (1), I (2), NL_NSL (3), SNA (4).

піднебінної площини);

POR_DOP (кут POr_DOP) - утворюється лініями **Po-Or** (франкфуртською площиною) та **ADP-PDP** (змикальною площиною за Доунсом **OcPD**);

POR_OCP (кут POr_OcP) - утворюється лініями **apOcP-ppOcP** (змикальною площиною за Стайнером **OcPSt**) та **Po-Or** (франкфуртською площиною **Fp**);

SN_OCP (кут SN_OcP) - утворюється лініями **apOcP-ppOcP** та **S-N** (нахил змикальної площини за Стайнером (**OcPSt**)) до передньої основи черепа);

DOP_1I (кут 1I_DOP) - утворюється лініями **Ap1L-Is1L** (центральна вісь нижнього присереднього різця) та **ADP-PDP** (змикальною площиною за Доунсом **OcPD**);

II (кут II або міжрізцевий кут) - утворюється лініями **Ap1u-Is1u** (центральною віссю верхнього присереднього різця) та **Ap1L-Is1L** (центральною віссю нижнього присереднього різця);

IMPA (кут IMPA) (*Incisor Mandibular Plane Angle*) - утворюється лініями **Ap1L-Is1L** (центральною віссю нижнього присереднього різця) та **Go-Me** (нижньощелепної площини, **MP**) (характеризує нахил нижнього присереднього різця до нижньощелепної площини). За методикою Downs цей показник для зручності і більш клінічної практичності використовується у зменшеному на 90° вигляді і може приймати як негативне так і позитивне значення, і називається **MEGO_1L**; в методиці Schwarz цей показник зазначається як **MAND1_ML** (кут Mand1_ML).

MAND1_ME (кут Mand1_Melm) - утворюється лініями **Ap1L-Is1L** (нахил центральної вісі нижнього присереднього різця) та **Im-Me** (нижньощелепної площиною за A. M. Schwarz, **MPS**);

MAND1_NB (кут Mand1_NB) - утворюється лініями **Ap1L-Is1L** (нахил центральної вісі нижнього присереднього різця) та **N-B**;

MAX1_NA (кут Max1_NA) - утворюється лініями **Ap1u-Is1u** (нахил центральної вісі верхнього присереднього різця) та **N-A**;

MAX1_SN (кут Max1_SN) - утворюється лініями **Ap1u-Is1u** (нахил центральної вісі верхнього присереднього різця) та **S-N**;

MAX1_SPP (кут Max1_SpP) - утворюється лініями **Ap1u-Is1u** (нахил центральної вісі верхнього присереднього різця) та **ANS-PNS** (піднебінної площини, **SpP**);

FMIA (кут FMIA) (*Frankfort Mandibular Incisor Angle*) - утворюється лініями **Is1L-Ap1L** (центральною віссю нижнього присереднього різця) та **Po-Or** (франкфуртською площиною, **Fp**) (кут нахилу нижнього присереднього різця до франкфуртської площини **Fp**);

NA_1u (відстань 1u_NA) - відстань від точки **Is1u** до лінії **N-A** (визначає передньо-заднє розташування коронкової частини верхнього присереднього різця до лінії **N-A**);

AVERT_1U (відстань 1u_Avert) - відстань від точки **Is1u** (різального краю верхнього присереднього різця) до перпендикуляру к франкфуртській площині (**Po-Or**) через точку **A**;

APOG_1U (відстань 1u_APog) - відстань від точки

Is1u (різального краю верхнього присереднього різця) до лінії **A-Pog**;

APOG_1L (відстань 1L_APog) - відстань від точки **Is1L** до лінії **A-Pog**;

NB_1I (відстань 1I_NB) - відстань від точки **Li1L** до лінії **N-B** (визначає передньо-заднє розташування коронкової частини нижнього присереднього різця до лінії **N-B**);

HOLDAWAY (Holdaway ratio або пропорція або співвідношення Холдавея) - різниця між відстанями від точки **Li1L** до лінії **N-B** та точки **Pog** до лінії **N-B**, (характеризує передньо-заднє положення коронки нижнього присереднього різця по відношенню до кісткового підборіддя, ця пропорція дозволяє зорієнтувати план лікування в сторону екстракції зубів, або геніопластики);

COTGSNLS (носогубний кут) - утворюється лініями **Sn-Cotg** (носовою дотичною) та **Sn-Ls** (губною дотичною);

Z (Z кут) - утворюється лініями **Li -Pog'** та **Po-Or** (франкфуртською площиною, **Fp**) (кут між профілем м'яких тканин, який визначається підборідно-нижньогубною лінією та франкфуртською площиною);

LI_NSPOG (відстань Li_NsPog') - відстань від точки **Li** до лінії **Ns-Pog'** (естетичної лінії, є індикатором балансу м'яких тканин, а саме співвідношення нижньої губи та профілю);

LS1U_L (товщина верхньої губи або відстань Ls1u_Ls) - відстань від точки **Is1u** до точки **Ls**;

LS_NSPOG (відстань Ls_NsPog') - відстань від точки **Ls** до лінії **Ns-Pog'** (естетичної лінії, є індикатором балансу м'яких тканин, а саме співвідношення нижньої губи та профілю);

POG_PO (товщина м'яких тканин підборіддя або відстань Pog_Pog') - відстань від точки **Pog** до точки **Pog'**;

SN_H_L (відстань Sn_H line) - відстань від точки **Sn** до лінії **Ls-Pog'** (H-лінії);

LI_H_L (відстань Li_H line) - відстань від точки **Li** до лінії **Ls-Pog'** (H-лінії) (відстань нижньої губи до H лінії);

SM_H_L (відстань Sm_H line) - відстань від точки **Sm** до лінії **Ls-Pog'** (H-лінії);

SS_LS (глибина носогубної складки) - відстань від точки **Ss** до перпендикуляру к **Po-Or** (франкфуртської горизонталі), проведена через точку **Ls**;

SS_NS (глибина носа) - відстань від точки **Ss** до кінчика носа **Ns** проведена паралельно франкфуртській площини;

A_SS (товщина основи верхньої губи або відстань A'_Ss) - відстань від точки **A'** до точки **Ss**.

Крім того, визначали наступні комп'ютернотомографічні характеристики положення зубів:

YG13_23 (кут Yg13_23) - утворюється лініями **I13-Apx13** та **I23-Apx23** у лобовій проекції (кут між центральними осями іклів верхньої щелепи у лобовій проекції);

YG33_34 (кут YG33_34) - утворюється лініями **I33-Apx33** та **I43-Apx43** у лобовій проекції (кут між центральними осями іклів нижньої щелепи у лобовій проекції);

ANGUL_!! (мезіо-дистальний нахил !! відповідного

зуба) - утворюється лінією **!!!-Арх!!** (центральною віссю відповідного зуба) та перпендикуляром до змикальної площини (**ОсІРІ**) у лобовій площині досліджуємого зуба (в розрахунок береться усереднена величина кута симетричних зубів правої то лівої сторін на одній щелепі);

TORK!! (присінково-язичний нахил !! відповідного зуба) - кут між лінією **!!!-Арх!!** (центральною віссю відповідного зуба) та перпендикуляром до змикальної площини (**ОсІРІ**) у стріловій площині досліджуємого зуба (в розрахунок береться усереднена величина кута симетричних зубів правої то лівої сторін на одній щелепі);

ROT!! (ротація !! відповідного зуба) - утворюється серединно-стріловою площиною зуба та серединно-стріловою площиною голови, (дозволяє визначити поворот зуба відносно серединно-стрілової площини) (в розрахунок береться усереднена величина кута симетричних зубів правої то лівої сторін на одній щелепі);

BCH_NCH_L (кут **BCH_NCH_L**) - утворюється центральними осями перших великих кутніх зубів верхньої та нижньої щелеп зліва у лобовій площині;

BCH_NCH_R (кут **BCH_NCH_R**) - утворюється центральними осями перших великих кутніх зубів верхньої та нижньої щелеп справа у лобовій площині;

MDYG13 (кут нахилу верхнього ікла у стріловій площині) - утворюється лініями **I13- Арх23** та лінією **ANS-PNS** у стріловій проекції (кут утворений центральною віссю ікла верхньої щелепи та піднебінною площиною у стріловій проекції);

MDYG33 (кут нахилу нижнього ікла у стріловій площині) - утворюється лініями **I43- Арх43** та лінією **ANS-PNS** у стріловій проекції (кут утворений центральною віссю ікла нижньої щелепи та піднебінною площиною у стріловій проекції);

YGNEBAPX (кут **YGNEBAPX**) - утворюється центральними осями **Арх16-Ср16** та **Арх26-Ср26** піднебінних коренів перших великих кутніх зубів верхньої щелепи відносно один одного у лобовій площині;

YGRES (міжрізцевий кут на КПКТ) - утворюється центральними осями присередніх різців верхньої **I11-Арх11** та нижньої щелеп **I41-Арх41** (показник характеризує кут утворений присередніми різцями верхньої та нижньої щелеп у стріловій проекції) (в розрахунок береться усереднена величина кута симетричних зубів правої то лівої сторін на одній щелепі).

Оцінка кореляцій проведена в ліцензійному пакеті "Statistica 6,0" з використанням непараметричної статистики Спірмена.

Результати. Обговорення

Встановлено, що в юнаків кут *F* (лицевий кут) має достовірний сильний прямий ($r = 0,67$) зв'язок з кутом **Max1_SN**; достовірні сильні зворотні ($r = -0,60$ і $r = -0,65$) зв'язки з кутами **SN_ОсР** і **Max1_SpP**; достовірні середньої сили прямі ($r = \text{від } 0,32 \text{ до } 0,43$) зв'язки з присінково-оральним нахилом 41, 42 і 45 зубів, кутом **1l_MeGo**, відстанню **1u_Avert**, з кутами **IMPA**, **Mand1_ML**, **Mand1_NB**,

з відстанню **Sn_H line** і товщиною основи верхньої губи; достовірні середньої сили зворотні ($r = \text{від } -0,35 \text{ до } -0,55$) зв'язки з кутами **YGOCPLI**, **POr_ОсР**, **YGRES**, з кутами **ll**, **Mand1_Melm** і глибиною носа. У дівчат кут *F* має достовірні середньої сили прямі ($r = \text{від } 0,31 \text{ до } 0,40$) зв'язки з кутом нахилу верхнього ікла у бічній проекції, з кутами **YGNEBAPX** і **Max1_SN**; достовірні середньої сили зворотні ($r = -0,34$ і $r = -0,35$) зв'язки з кутами **SN_ОсР** і **Max1_SpP**; достовірний слабкий прямий ($r = 0,28$) зв'язок з мезіо-дистальним нахилом 13 зуба; достовірні слабкі зворотні ($r = \text{від } -0,27 \text{ до } -0,29$) зв'язки з мезіо-дистальним нахилом 44 зуба, відстанню **1u_NA** і глибиною носа.

У юнаків кут *I* (інклинаційний кут) має достовірний сильний прямий ($r = 0,60$) зв'язок з кутом **Max1_SN**; достовірні середньої сили прямі ($r = \text{від } 0,32 \text{ до } 0,49$) зв'язки з присінково-оральним нахилом 41 зуба, з кутами **1l_DOP** і **1l_MeGo**, відстаннями **1u_APog** і **1u_Avert**, з кутами **IMPA**, **Mand1_ML**, **Mand1_NB**, **Max1_NA**, з товщиною основи верхньої губи; достовірні середньої сили зворотні ($r = \text{від } -0,43 \text{ до } -0,59$) зв'язки з кутом **SN_ОсР**, **YGRES**, з кутами **ll**, **Mand1_Melm**. У дівчат кут *I* має достовірний середньої сили прямий ($r = 0,33$) зв'язок з кутом **YGOCPLI**; достовірний середньої сили зворотній ($r = -0,31$) зв'язок з ротацією 16 зуба; достовірні слабкі прямі ($r = 0,28$ в обох випадках) зв'язки з ротацією 12 зуба і відстанню **1u_NA**; достовірний слабкий зворотній ($r = -0,28$) зв'язок із мезіо-дистальним нахилом 44 зуба.

У юнаків кут **NL_NSL** має достовірний сильний зворотній ($r = -0,64$) зв'язок з кутом **Max1_SN**; середньої сили прямі ($r = \text{від } 0,34 \text{ до } 0,59$) зв'язки з кутом **SN_ОсР**, ротацією 15 зуба, **YGRES**, з кутами **ll**, **Mand1_Melm**; достовірні середньої сили зворотні ($r = \text{від } -0,32 \text{ до } -0,52$) зв'язки з кутом **Yg13_23**, з присінково-оральним нахилом 11 і 41 зубів, відстанями **1u_Avert** і **1u_NA**, з кутом **Max1_NA**, товщиною основи верхньої губи. У дівчат кут **NL_NSL** має достовірні середньої сили прямі ($r = 0,30$ і $r = 0,32$) зв'язки з кутом **SN_ОсР** і мезіо-дистальним нахилом 44 зуба; достовірні слабкі прямі ($r = \text{від } 0,27 \text{ до } 0,29$) зв'язки з ротацією 16 і 41 зубів, з кутами **BCH_NCH_L**, **BCH_NCH_R** і **Mand1_NB**.

У юнаків кут **SNA** має достовірний сильний прямий ($r = 0,73$) зв'язок з кутом **Max1_SN**; сильні зворотні ($r = -0,63$ і $r = -0,70$) зв'язки з кутами **SN_ОсР** і **Max1_SpP**; середньої сили прямі ($r = \text{від } 0,33 \text{ до } 0,43$) зв'язки з присінково-оральним нахилом 41, 42 і 45 зубів, з кутом нахилу верхнього ікла у бічній проекції, з кутом **1l_MeGo**, з відстанню **1u_Avert**, з кутами **IMPA**, **Mand1_ML**, **Mand1_NB**, з відстанню **Sn_H line** і товщиною основи верхньої губи; достовірні середньої сили зворотні ($r = \text{від } -0,35 \text{ до } -0,58$) зв'язки з кутами **YGOCPLI** і **POr_ОсР**, **YGRES**, з кутом **ll**, **Mand1_Melm**, з глибиною носа. У дівчат кут **SNA** має достовірні середньої сили прямі ($r = \text{від } 0,30 \text{ до } 0,41$) зв'язки з кутом нахилу верхнього ікла у бічній проекції і кутом **YGNEBAPX**, з кутом **Max1_SN**; достовірні середньої сили зворотні ($r = \text{від } -0,31 \text{ до } -0,42$) зв'язки з кута-

ми YGOCLPI і SN_ОсР, з відстанню 1u_NA і кутом Max1_SpP; достовірні слабкі прямі ($r = 0,27$ і $r = 0,28$) зв'язки з кутом YG33_34, з мезіо-дистальним нахилом 13 зуба та ротацією 16 зуба; достовірні слабкі зворотні ($r = -0,27$ і $r = -0,28$) зв'язки з кутом POr_ОсР, мезіо-дистальним нахилом 44 зуба і глибиною носа.

Таким чином, у юнаків для кутів F, I та SNA (лицевого, інклінаційного і SNA кутів) встановлена найбільша кількість кореляційних зв'язків: переважно прямі з присінково-оральним нахилом 41, 42, 45 зубів, кутовими цефалометричними характеристиками зубів (окрім кутів II і Mand1_Melm) та зворотні з характеристиками положення змикальної площини; а також для кута NL_NSL переважно зворотні з характеристиками положення змикальної площини.

У дівчат для кутових показників верхньої щелепи встановлені лише поодинокі кореляційні зв'язки з характеристиками положення зубів та профілю м'яких тканин обличчя.

Список літератури

- Арутюнов С.Д. Корреляционная зависимость параметров окклюзионной плоскости и франкфуртской горизонтали с морфологическими и функциональными показателями челюстно-лицевой области при физиологических взаимоотношениях зубных рядов /С. Д. Арутюнов, Д.Е. Персин, Л.С. Персин //Стоматология. - 2000. - №4. - С.60-63.
- Войтяцкая И. В. Снижение высоты нижнего отдела лица - это явление или стоматологическое заболевание /И. В. Войтяцкая, А.К. Иорданишвили, И. В. Гайворонский //Стоматология славянских государств: матер. VI междунар. науч.-практ. конф.-Белгород: [Б.и.], 2013.- С.36-40.
- Дорошенко С.И. Основы телерентгенографии /С. И. Дорошенко, Е. А. Кульгинский. - К.: Здоров'я, 2007.- 72с.
- Дмитриенко С.В. Оптимизация методов комплексного обследования и лечения пациентов с несоответствием размеров постоянных зубов параметрам зубочелюстных дуг: дис. ... д. мед. н. /С.В. Дмитриенко.- Волгоград, 2011.- 243с.
- Левицкий В.В. Разработка системы трехмерной визуализации лица и зубных рядов и ее применение в стоматологической клинике: автореф. ... канд. мед. наук /В.В. Левицкий.- Москва, 2008.- 20с.
- Ленденгольц Ж.А. Лицевая эстетика как критерий выбора ортодонтического лечения /Ж.А. Ленденгольц, Р. А. Мосейко //Ортодонтия. - 2005. - №4.- С.19-22.
- Музурова Л.В. Корреляционные отношения угловых параметров телерентгенограмм головы детей 8-12 лет с дистальным прикусом /Л.В. Музурова, В.Н. Николенко //Морфол. ведомости.- 2006.- №1-2, прил. №1.- С.188-189.
- Смирнов В.Г. Клиническая анатомия челюстей /В.Г. Смирнов, О.О. Янушевич, А. В. Митронин.- М.: Изд-во БИНОМ, 2014.- 232с.
- Хорошилкина Ф. Я. Ортодонтия /Ф. Я. Хорошилкина. - 2-е изд. - М.: МИА, 2010. - 591с.
- Язбек А.С. Влияние размеров сегментов зубных рядов и их положения на формирование окклюзии: дис. ... канд. мед. н. /А.С. Язбек.- М., 2005.- 174с.
- An Atlas on Cephalometric Landmarks. 1st Edition /Basavaraj Subhashchandra Phulari. - Jaypee Brothers Medical Publishers, 2013.- 213 p.
- Correct complete denture rehabilitation, a chance for recovering abused tissues /I. Babiuc, M. P?una, M.A. Mali?a [et al.] //J. Morphol. Embryol. - 2009. - Vol.50, №4.- P.707-712.
- Holdaway R.A. A soft-tissue cephalometric analysis and its use in orthodontic treatment planning. Part I /R. A. Holdaway // Am. J. Orthod.- 1983.- №84.- P.1-28.
- McNamara J.A. A method of cephalometric evaluation /J. A. McNamara //Am. J. Orthod.. - 1984. - № 86. - P. 449-469.
- Schmuth G. P. F. Methodische Schwierigkeiten bei der Anwendung der R?ntgenkephalometrie in der Kieferorthop?die /G. P. F. Schmuth // Fortschritte der Kieferorthop?die.- 1971.- Vol.32, №2.- P.317.
- Steiner C.C. Cephalometrics in clinical practice /C.C. Steiner //Angle Orthod.- 1959. - №29.- P. 8-29.
- Suda N. Relationship between formation eruption of maxillary teeth and skeletal pattern of maxilla /N. Suda, Sh. Hiyama, T. Kuroda //Am. J. Orthod. Dentofacial Orthop.- 2002.- №1.- P.46-52.

Дмитриев Н.А.

КОРРЕЛЯЦИИ УГЛОВЫХ ПОКАЗАТЕЛЕЙ ВЕРХНЕЙ ЧЕЛЮСТИ С ХАРАКТЕРИСТИКАМИ ПОЛОЖЕНИЯ ЗУБОВ И ПРОФИЛЯ МЯГКИХ ТКАНЕЙ ЛИЦА У ЖИТЕЛЕЙ УКРАИНЫ ЮНОШЕСКОГО ВОЗРАСТА

Резюме. В статье описаны особенности связей угловых показателей верхней челюсти с характеристиками положения зубов и профиля мягких тканей лица у жителей Украины юношеского возраста. Наибольшее количество связей у юношей установлена для углов F, I и SNA - преимущественно прямые с преддверно-оральным наклоном 41, 42, 45 зубов, угловыми цефалометрическими характеристиками зубов (кроме углов II и Mand1_Melm) и обратные с характеристиками положения замыкательной плоскости. В отличие от юношей, у девушек для угловых показателей верхней челюсти установлены лишь единичные корреляции с характеристиками положения зубов и профиля мягких тканей лица.

Ключевые слова: цефалометрия, одонтометрия, юноши, девушки, показатели верхней челюсти, характеристики положения зубов и профиля мягких тканей.

Dmitriev M.O.

CORRELATION CORNER INDICES OF UPPER JAW WITH THE CHARACTERISTICS POSITION OF THE TEETH AND SOFT TISSUE PROFILE OF FACE AMONG THE RESIDENTS FROM UKRAINE OF ADOLESCENT AGE

Summary. *The article describes the features of the connections of corner performance of the upper jaw with the characteristics position of teeth and soft tissue facial profile in adolescents residents of Ukraine. The largest number of connections in youths set for angles F, I and SNA - preferably direct with vestibular-oral inclination of 41, 42, 45 teeth, angular cephalometric characteristics of teeth (except for the corners II and Mand1_Melm) and return with characteristics of the position locking plane. Unlike boys, in girls for angular parameters of the upper jaw set only a few correlations with the characteristics position of teeth and soft tissue facial profile.*

Key words: *cephalometry, odontometry, boys, girls, maxilla performance, characteristics position of teeth and soft tissue profile.*

Рецензент - д.мед.н., проф. Гунас І.В.

Стаття надійшла до редакції 25.05.2016 р.

Дмітрієв Микола Олександрович - к.мед.н., доцент, докторант науково-дослідного центру ВНМУ ім. М.І. Пирогова, +38(063)6283178; dmitriyevnik@gmail.com
